

- A** Si consideri la risposta a gradino unitario riportata in figura 1 e si determini qualitativamente la funzione di trasferimento $G(s)$ del sistema che la ha generata. Si osservi che la pendenza iniziale della risposta è pari a $-\frac{15}{8}$, si assesta all'interno del 5% del valore di regime dopo un tempo pari a 2.3s e il periodo dell'oscillazione è 1.7s. Infine, il valore di picco è di 0.332 a 1.13s.

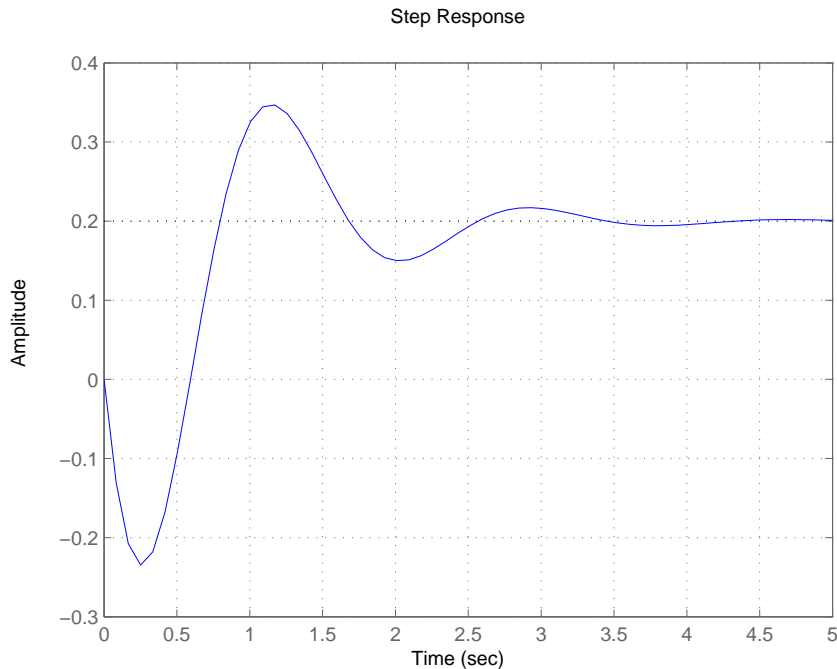


Figura 1: Risposta al gradino unitario di un sistema il cui modello non è noto.

- B** Si consideri la seguente equazione differenziale:

$$\frac{d^3 y(t)}{dt} - 2\frac{d^2 y(t)}{dt} - 16\frac{dy(t)}{dt} + 32y(t) = 16 \left(\frac{du(t)}{dt} + 2u(t) \right)$$

- b1)** Si scriva il sistema in forma di stato e si riporti la funzione di trasferimento tra l'ingresso u e l'uscita y ;
- b2)** Si determini una legge di controllo per la variabile di ingresso u che agisca in modo tale da garantire le seguenti specifiche:
- b2.1)** Errore di inseguimento per un ingresso a rampa lineare del tipo $2tH(t)$ inferiore all'1%. Tempo di assestamento al 2% inferiore a 30 ms e sovraelongazione massima pari al 15% del valore di regime;
- b2.2)** Si supponga che il sensore che misura l'uscita $y(t)$ sia affetta da errore per frequenze superiori a 10^4 rad/s pari al massimo a 10 unità. Si desidera che l'effetto sulla regolazione dell'uscita sia inferiore a ± 1 unità.

Si riporti esplicitamente il controllore ottenuto, il diagramma di Bode relativo alla f.d.t. di anello con le relative specifiche da rispettare, la risposta al gradino del sistema in anello chiuso e lo schema a blocchi complessivo.

Soluzione

A La risposta al gradino presenta delle oscillazioni smorzate, e come si può facilmente evincere dal grafico, la prima derivata non nulla in $t = 0$ è di segno opposto rispetto al valore di regime. Qualitativamente quindi l'andamento della risposta può essere approssimato a quello di un sistema del secondo ordine con uno zero a parte reale positiva, ovvero da una f.d.t. del tipo:

$$G(s) = K \frac{(1 + \tau s)}{\frac{s^2}{\omega_n^2} + \frac{2\delta s}{\omega_n} + 1}$$

I valori di $K, \delta, \omega_n, \tau$ possono essere calcolati facendo riferimento alla figura e ai dati a disposizione. In particolare poichè la risposta tende al valore di regime di 0.2, utilizzando il teorema del valore finale si deduce un guadagno statico pari a

$$K = \lim_{s \rightarrow 0} sG(s) \frac{1}{s} \approx 0.2 \approx \frac{1}{5},$$

mentre la presenza di oscillazioni smorzate indica l'esistenza di una coppia di poli complessi coniugati la cui parte immaginaria β è legata alla pulsazione naturale e allo smorzamento attraverso la seguente relazione:

$$\beta = \omega_n \sqrt{1 - \delta^2}.$$

Poichè la parte immaginaria dei poli è strettamente legata al periodo dell'oscillazione, cioè $\beta = \frac{2\pi}{T}$ con $T = 1,7$ s, vale che:

$$\omega_n = \frac{2\pi}{T\sqrt{1 - \delta^2}}. \quad (1)$$

Utilizzando poi la relazione approssimata che lega lo smorzamento e la pulsazione naturale di un sistema del secondo ordine al tempo di assestamento $T_a = 2,3$ s,

$$T_a \approx \frac{3}{\omega_n \delta} = \frac{3T\sqrt{1 - \delta^2}}{2\delta\pi}$$

è possibile ricavare il valore dello smorzamento stesso:

$$\delta = \pm \sqrt{\frac{9T^2}{9T^2 + 4\pi^2 T_a^2}} = \pm 0,333.$$

Il valore di interesse è quello positivo in quanto il sistema che ha generato la risposta al gradino è asintoticamente stabile. Inserendo il valore di δ appena trovato nella 1, si trova che $\omega_n = 3,92$ rad/s.

Infine, rimane da determinare lo zero. Un valore opportuno per τ si ottiene utilizzando il teorema del valore iniziale applicato alla derivata della risposta al gradino $\dot{y}(t)$, cioè

$$\lim_{t \rightarrow 0} \dot{y}(t) = \lim_{s \rightarrow +\infty} s(sG(s)) \frac{1}{s} = \frac{K\tau}{\frac{1}{\omega_n^2}} = -\frac{15}{8}$$

da cui si ricava che $\tau \approx -0,61$. Concludendo, una possibile f.d.t. $G(s)$ del sistema che ha generato la risposta al gradino riportata nella figura è la seguente:

$$G(s) = 0.2 \frac{-0.61s + 1}{0.0651s^2 + 0.1698s + 1}$$

dalla quale si ottiene la risposta al gradino riportata in figura 2.

B

b1) Indicando con $x = [x_1, x_2, x_3]^T = [y, \dot{y}, \ddot{y}]^T$, il sistema in forma canonica di controllo è il seguente,

$$\begin{aligned} \dot{x} &= Ax + Bu \\ y &= Cx + Du \end{aligned}$$

con:

$$A = \begin{bmatrix} 0 & 1 & 0 \\ 0 & 0 & 1 \\ -32 & 16 & 2 \end{bmatrix}; \quad B = \begin{bmatrix} 0 \\ 0 \\ 1 \end{bmatrix}; \quad C = [32 \quad 16 \quad 0]; \quad D = 0.$$

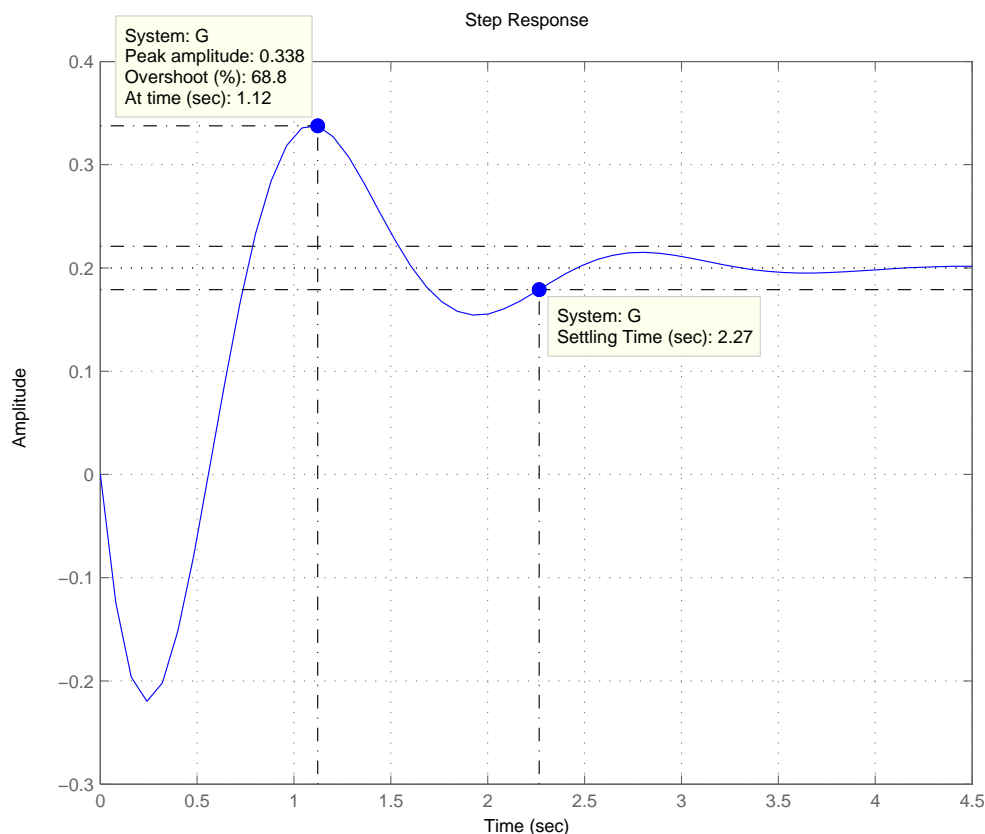


Figura 2: Risposta al gradino unitario della f.d.t. $G(s) = 0.2 \frac{-0.16s+1}{0.0651s^2+0.1698s+1}$.

La funzione di trasferimento tra l'ingresso $u(t)$ e l'uscita $y(t)$ può essere ottenuta seguendo due strade; la prima si avvale dell'utilizzo della seguente formula:

$$G(s) = \frac{Y(s)}{U(s)} = C(sI - A)^{-1}B + D,$$

mentre la seconda richiede l'applicazione della trasformata di Laplace al sistema dinamico, costituito, in tal caso, da una equazione differenziale, e procedere poi per sostituzione. Indipendentemente dalla strada percorsa, la f.d.t. richiesta è:

$$G(s) = \frac{Y(s)}{U(s)} = \frac{16(s+2)}{s^3 - 2s^2 - 16s + 32} = \frac{16(s+2)}{(s+4)(s-4)(s-2)}.$$

- b2)** La f.d.t. presenta tre poli reali, di cui due a parte reale positiva: questo indica che il sistema è instabile. Si procede quindi con la tecnica del doppio anello di retroazione o della retroazione in cascata (vedi figura 3); prima di realizzare un controllore $C_2(s)$ tale da garantire le specifiche richieste, si procede alla realizzazione, di solito per mezzo del luogo delle radici, di un controllore $C_1(s)$ tale che il sistema $G_1(s) = \frac{C_1(s)G(s)}{1+C_1(s)G(s)}$ sia asintoticamente stabile. Il controllore $C_2(s)$ sarà poi progettato sui diagrammi di Bode, in quanto la f.d.t. $G_1(s)$, in relazione alla quale viene effettuato il progetto, è asintoticamente stabile. Il luogo delle radici diretto ed inverso relativo alla f.d.t. $G(s)$ sono riportati in figura 4 e in figura 5 rispettivamente. È facile osservare che nessun controllore puramente proporzionale è in grado di rendere asintoticamente stabile la f.d.t. $G_1(s)$. Tuttavia, il luogo delle radici diretto, quello per $K_c > 0$, presenta due asintoti (eccesso poli zeri $n - m = 2$), il cui baricentro si trova sull'asse reale ad una ascissa di valore,

$$\sigma_a = \frac{\sum_1^n p_i - \sum_1^m z_i}{n - m} = 2$$

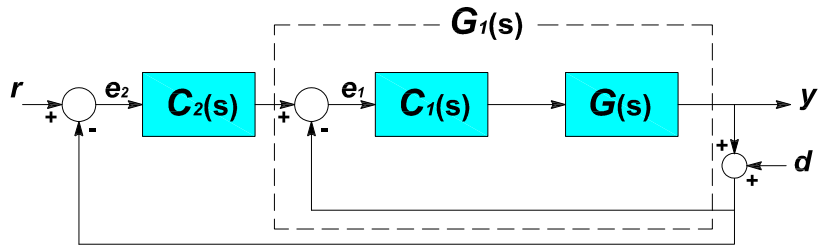


Figura 3: Schema a blocchi relativo ad una tipica retroazione in cascata.

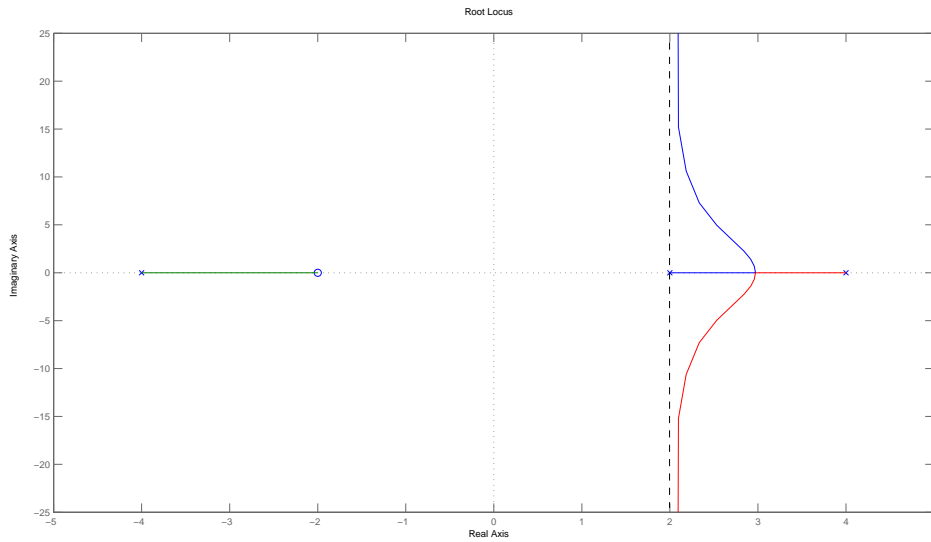


Figura 4: Luogo delle radici diretto di $G(s)$, $K_c > 0$.

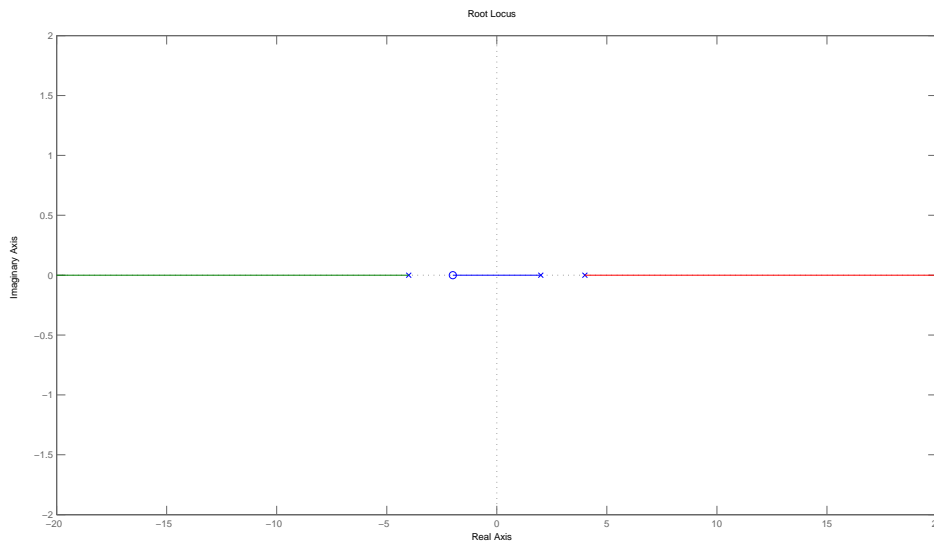


Figura 5: Luogo delle radici inverso di $G(s)$, $K_c < 0$.

e formano con l'asse reale angoli pari a

$$\gamma = \frac{(2r + 1)\pi}{n - m}, \quad r = 0, 1, \dots, n - m - 1,$$

cioè $\pi/2$ e $3\pi/2$. L'inserimento di un controllore $C_1(s)$ a fase minima tale da mantenere inalterato l'eccesso poli-zeri della f.d.t. $C_1(s)G(s)$ e tale da spostare il baricentro degli asintoti nel semipiano sinistro, permette di ottenere una f.d.t. $G_1(s)$ asintoticamente stabile per qualche valore del guadagno K_c del controllore stesso. A tal proposito consideriamo il seguente prototipo di controllore:

$$C_1(s) = K_c \frac{s + z_c}{s + p_c}.$$

Imponendo che il nuovo baricentro degli asintoti sia $\sigma_b = -2$, si ottiene che:

$$\sigma_b = \frac{\sum_1^n p_i - \sum_1^m z_i}{n - m} = 2 + \frac{|z_c| - |p_c|}{2} = -2$$

da cui si ricava che la distanza tra lo zero ed il polo, entrambi sul semiasse negativo, deve essere pari a 8. Ponendo $z_c = -1$ e $p_c = -9$ si ottiene il luogo delle radici riportato in figura 6 per la f.d.t. $C_1(s)G(s)$.

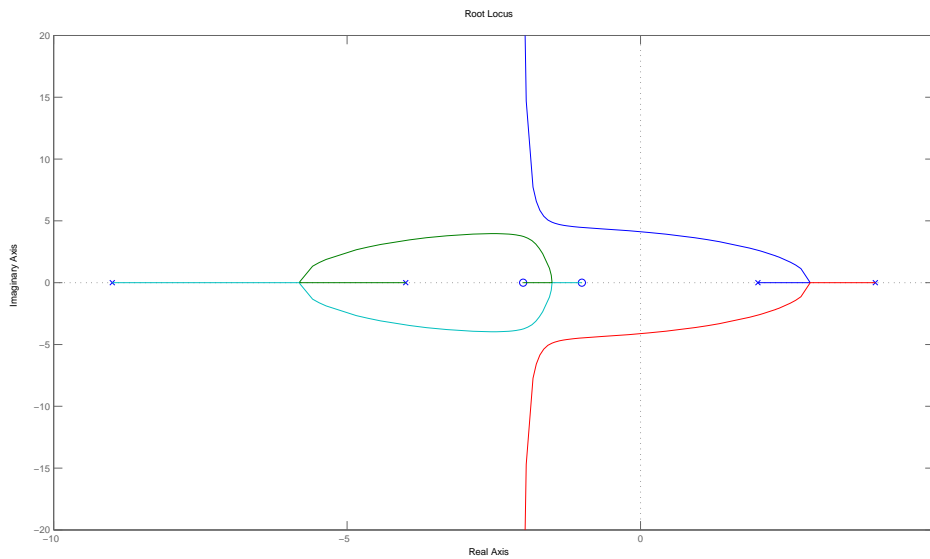


Figura 6: Luogo delle radici diretto di $C_1(s)G(s)$.

In definitiva, il controllore stabilizzante, con la scelta $K_c = 135$, ha la seguente f.d.t.:

$$C_1(s) = 135 \frac{s + 1}{s + 9},$$

mentre, la f.d.t. $G_1(s)$ dell'anello stabilizzante, risulta pari a:

$$G_1(s) = \frac{2160(s + 2)(s + 1)}{(s + 1.797)(s + 1.214)(s^2 + 3.989s + 2112)},$$

anch'essa a fase minima. La f.d.t. presenta quattro poli a parte reale negativa, di cui due corrispondenti a modi esponenzialmente convergenti e due corrispondenti a modi oscillanti convergenti anch'essi a zero, con pulsazione naturale $\omega_n \simeq 46$ rad/s e smorzamento $\delta \simeq 0,05$. I diagrammi di Bode della f.d.t. $G_1(s)$ sono riportati in figura 7. Nelle figura 8-a,b sono invece riportate le risposte al gradino e all'impulso unitario, rispettivamente.

Data la f.d.t. $G_1(s)$ asintoticamente stabile, è possibile passare al progetto del secondo controllore $C_2(s)$ capace di soddisfare le specifiche richieste. Facendo riferimento al progetto di un controllore del tipo

$$C_2(s) = \frac{k_c}{s^t} \hat{C}_2(s), \text{ con } \hat{C}_2(0) = 1,$$

iniziamo con la scelta del tipo t e della costante di guadagno k_c del controllore basandoci sulle specifiche statiche.

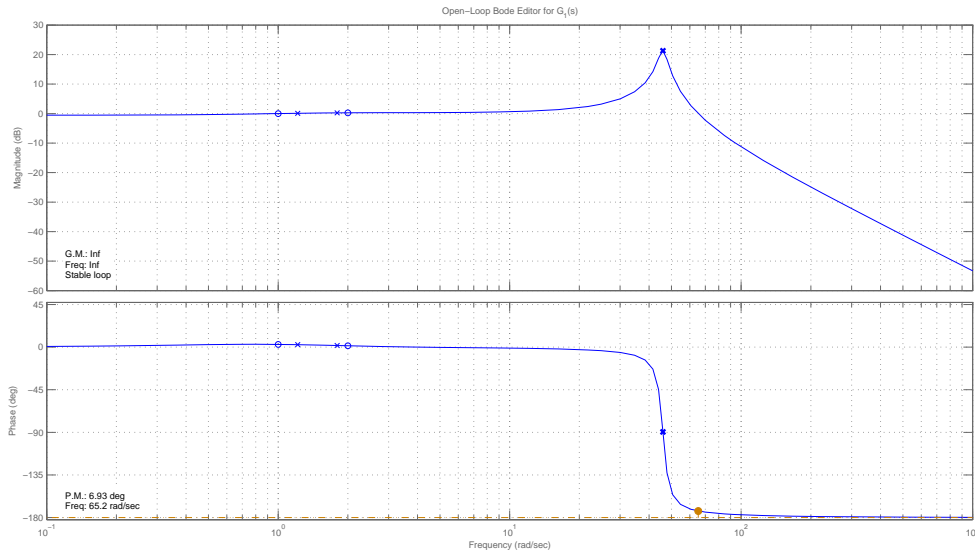
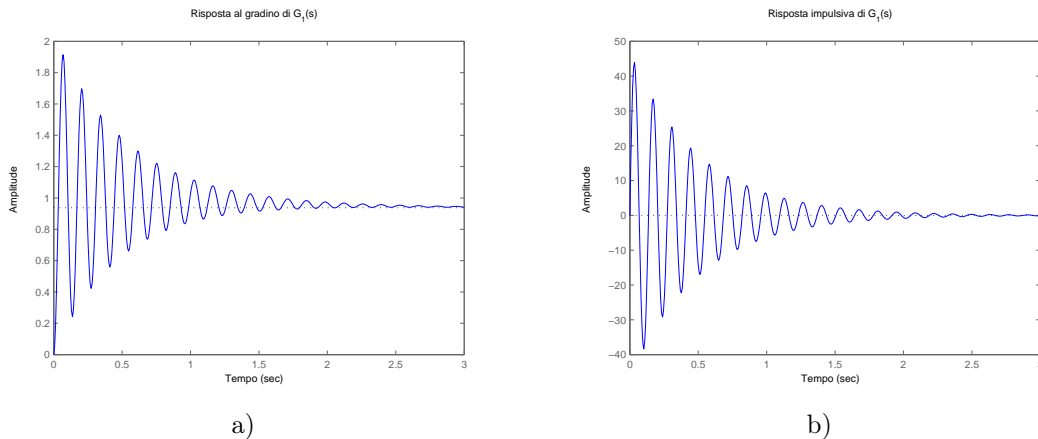


Figura 7: Diagramma di Bode della f.d.t. $G_1(s)$.



a)

b)

Figura 8: Le risposte al gradino e impulsive della funzione di trasferimento $G_1(s)$ sono riportati in (a,b) e sono ottenute con il comando step e impulse di Matlab.

b2.1) Poichè la f.d.t. $G_1(s)$ è di tipo “0”, affinché l’errore per un ingresso a rampa lineare del tipo $btH(t)$ con $b = 2$ sia limitato, è necessario che il controllore sia di tipo “1”, cioè $t = 1$, e il guadagno di velocità del sistema, $K_v = (sC_1(s)G(s))|_{s=0}$, deve essere almeno pari a 200. Questo implica che il diagramma di Bode deve stare, per le basse frequenze, al di sopra della retta di pendenza -1 passante per $(\omega = 1, |C_2(j\omega)G(j\omega)| = 46 \text{ dB})$. Affinchè questo sia possibile, è necessario scegliere $k_c \geq 215$, essendo $G_1(0) \simeq -0.54 \text{ dB}$.

Per soddisfare le specifiche sulla sovraelongazione e sul tempo di assestamento, tentiamo di progettare un controllore che permetta di approssimare il sistema in anello chiuso con un modello a doppio polo dominante, cioè un sistema del secondo ordine, rispetto al quale le due specifiche si traducono come segue:

$$S_{\%} = 100 \exp\left(\frac{-\pi\delta}{\sqrt{1-\delta^2}}\right) \Rightarrow \delta \approx 0,51 \Rightarrow M_{\Phi} \approx 51^\circ$$

$$\omega_T = \frac{4}{\delta T_a} \Rightarrow \omega_T \approx 262 \text{ rad/s}$$

Il diagramma di Bode con i vincoli sulla pulsazione di taglio ω_T sono riportati in figura 9.

b2.2) Si tratta di una specifica relativa ad un disturbo di misura in alta frequenza. Sia quindi d il disturbo sul sensore di misura dell’uscita $y(t)$ del sistema (vedi figura 3). Come si può osservare,

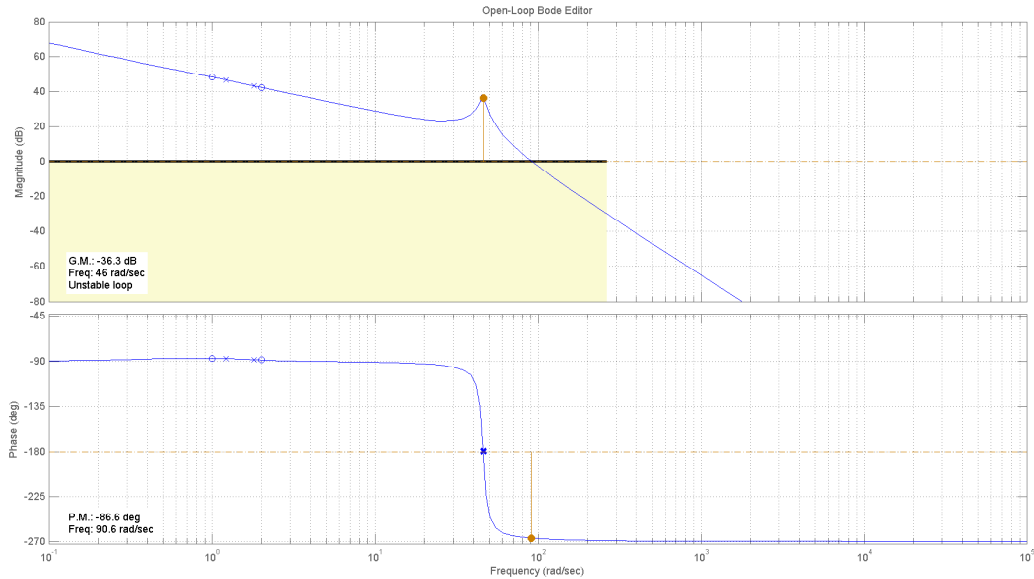


Figura 9: Diagramma di Bode della f.d.t. $\frac{215}{s}G_1(s)$ con specifica sulla pulsazione di taglio.

il disturbo di misura si ripercuote sia sull'anello più esterno che su quello stabilizzante. La funzione di trasferimento tra il disturbo $D(s)$ e l'uscita $Y(s)$ è:

$$Y(s) = -\frac{(1 + C_2(s))G_1(s)}{1 + C_2(s)G_1(s)}D(s),$$

dove $G_1(s)$ è la f.d.t. dell'anello stabilizzante. Nella specifica analizzata in questo punto si richiede un basso guadagno della funzione d'anello $C_2(s)G_1(s)$ per pulsazioni superiori a circa 10^4 rad/s in modo che l'effetto sull'uscita sia inferiore a ± 1 unità quando il disturbo di misura è al suo massimo valore di 10 unità. Questo si traduce, applicando il teorema della risposta armonica, in una richiesta di attenuazione del disturbo pari a circa $1/10$, ossia

$$|(1 + C_2(s))G_1(s)| \leq |C_2(s)G_1(s)| + |G_1(s)| \leq \frac{1}{10},$$

da cui:

$$|C_2(s)G_1(s)| \leq 20 \log \left(\frac{1}{10} - |G_1(s)|_{\omega=10^4 \text{ rad/s}} \right).$$

Essendo $|G_1(s)|_{\omega=10^4 \text{ rad/s}} \simeq -94$ dB, si ottiene in definitiva:

$$|C_2(s)G_1(s)| \leq -20 \text{ dB},$$

per pulsazioni maggiori o uguali a 10^4 rad/s. Le limitazioni relative a questa specifica sono riportate in figura 10.

Progetto del controllore $C_2(s)$

La f.d.t. $G_1(s)$ con il controllore parziale $\frac{215}{s}$, non rispetta la specifica sulla pulsazione di taglio. È necessario prima di tutto alzare il diagramma aumentando il guadagno d'anello. Così facendo il diagramma attraversa l'asse a 0 dB oltre 262 rad/s ma con una pendenza pari a -60 dB/dec. Per ottenere un attraversamento pari a -20 dB/dec è necessario inserire due zeri prima dell'attraversamento; per esempio due zeri coincidenti in -60 . Infine, per soddisfare anche la specifica sul margine di fase, è utile l'inserimento di un polo oltre la pulsazione di taglio. Così facendo viene rispettata anche la causalità ed il controllore finale è il seguente:

$$C_2(s) = \frac{794(s + 60)^2}{s(s + 2300)}$$

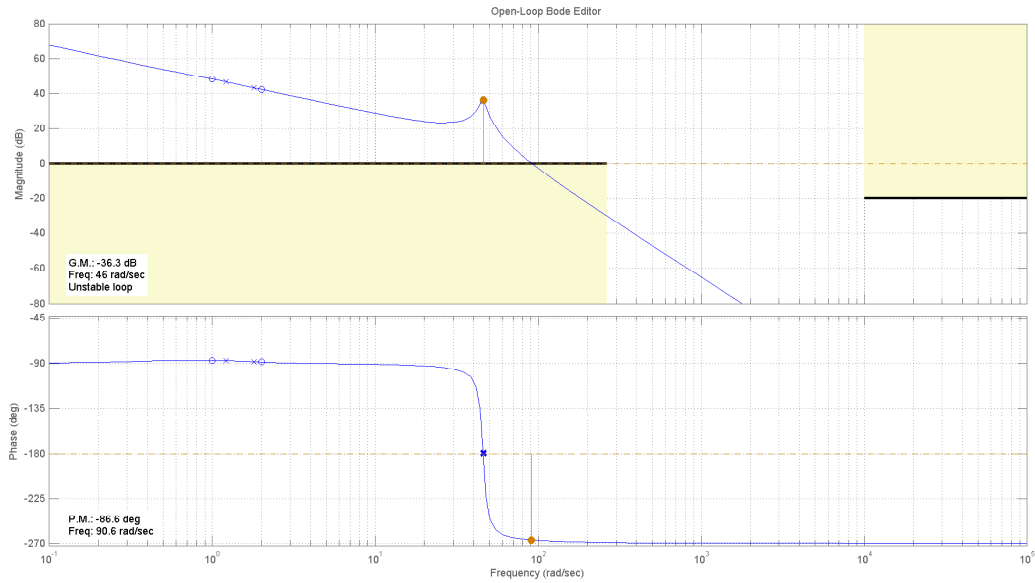


Figura 10: Diagramma di Bode della f.d.t. $\frac{215}{s}G_1(s)$ con specifica sulla pulsazione di taglio e sul rumore di misura.

In figura 12 è riportata la risposta al gradino dell'intero sistema controllato $G_2(s)$, con,

$$G_2(s) = \frac{1715040(s + 60)^2(s + 2)(s + 1)}{(s + 97.49)(s + 44.77)(s + 2)(s + 1)(s^2 + 2162s + 1.414 \cdot 10^6)}$$

Come si può vedere, l'approssimazione a doppio polo dominante in tal caso non è del tutto riuscita, ma le specifiche sul tempo di assestamento e sulla sovralongazione sono comunque rispettate.

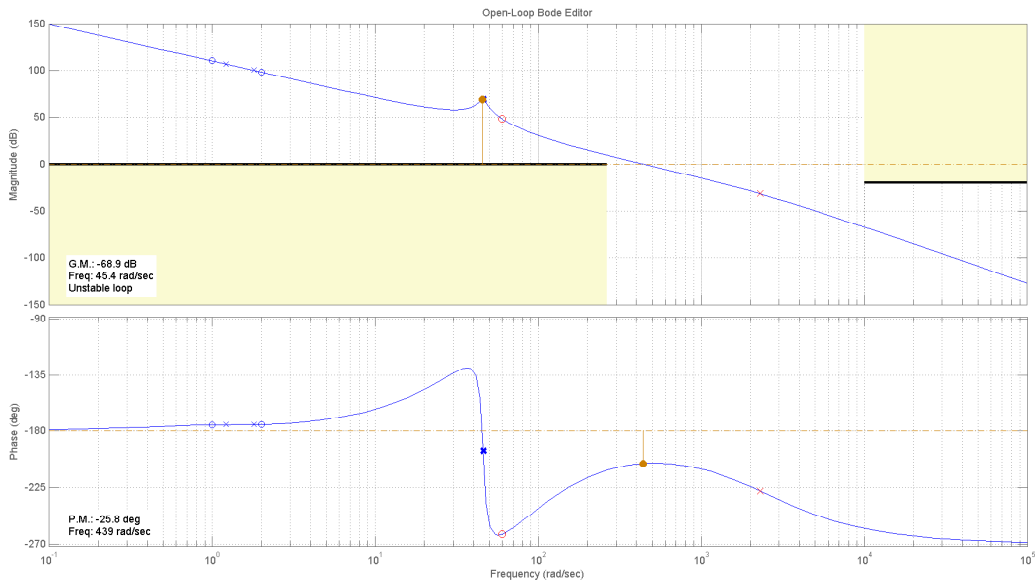


Figura 11: Diagramma di Bode finale della f.d.t. $C_2(s)G_1(s)$ con specifica sulla pulsazione di taglio e sul rumore di misura.

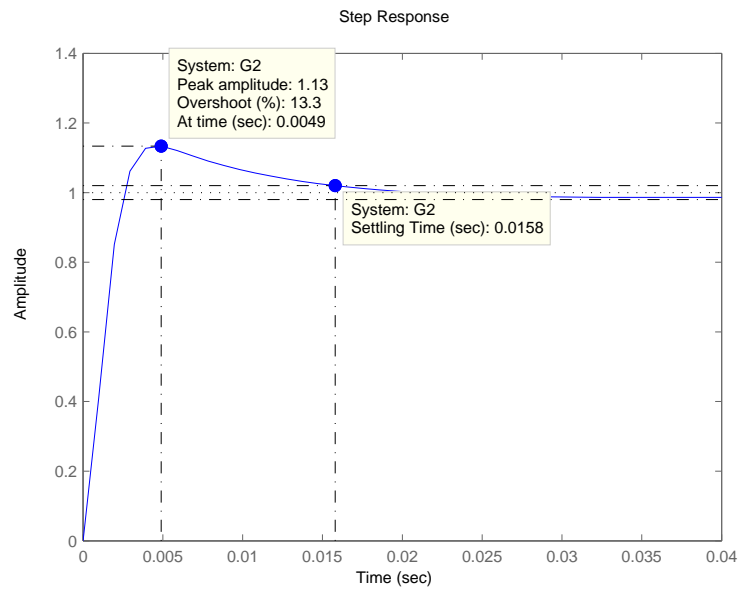


Figura 12: Risposta al gradino della f.d.t. $G_2 = \frac{C_2(s)G_1(s)}{1+C_2(s)G_1(s)}$, con $G_1(s)$ f.d.t. dell'anello stabilizzante.